

تطبيقات جديدة لليزر ، الطيف الكتلوي التشردي
التجاوبي للكالسيوم

د. إبراهيم كامل بلال
أستاذ مساعد في كلية العلوم
قسم الفيزياء - جامعة تشرين

سنستعرض في هذا البحث بياجاز بعضاً من تطبيقات الليزر الجديدة مركzin بشكل خاص على الطيف الكتلوي التجاوبي التشردي (RIMS) لأبخرة المعادن . ثم سنستعين بطريقة RIMS لدراسة إمكانية تشرد هذه المعادن تجاوبياً بثلاث فوتونات، أي إيجاد الطرق التجاويبية الانتقامية نظائرياً لتشردها بفوتونين . وأخيراً سنستفيد من هذه الطرق في إيجاد وسيلة محسنة لإخصاب وكشف نظائر الكالسيوم .

دراسة الطيف الكتلوي التجاوبي التشردي للأبخرة العناصر القلوية بغية إيضاح أهمية هذه التقنية في تفريق وإخصاب هذه العناصر ، وبخاصة عنصر الكالسيوم .

١- التحقق الفوقي والذري من نظريات ميكانيك الكم والإشعاع الكهربائي الكوارنتي :

إن نظريات الإشعاع الحديثة مبنية على أساس معادلة شرودنغر التي هي أساس ميكانيك الكم والتي تجمع بين الميكانيك الكلاسيكي الهايدنوني والنظرية الموجية وفرضية بلانك . وهناك صورة متعددة لميكانيك الكم منها صورة (Bohm)⁽¹⁾ المبنية على التفسير السببي للمسارات والمصورة الإحصائية التي تهمّل الميكانيك الكلاسيكي ولا تعترف بالمصورة الموجية والمسارات ومصورة هايزنبرغ التي تنطلق من المعادلة التحريرية للجملة

منذ اكتشاف الليزر في الستينيات كان يمكن الحصول من تشغيله الحر على استطاعة خرج من مرتبة KW ، لكن بالاستفادة من طرق المفتاح (Q - Switches) يمكن غلق النسق (mode locking) يمكن الحصول على ثقبة ليزرية استطاعتها من مرتبة MW أو GW . حالياً يستحصل من الليزر على استطاعة بحدود TW و PW باستخدام طرق التضخيم المتتابعة (Chirped amplification) وبزيادة استطاعة خرج النسبة الليزرية يتناقص عرضها حتى أصبح الآن من مرتبة Fsec . وإذا أضفنا إلى هذه الخواص استقرارية ($\frac{1}{10}$) الليزر العالية التي تصل في بعض الأحيان إلى 10^{-14} وقابليته للتوليف يتضح لنا أهمية وتنوع مجالات تطبيق الليزر . لهذا فإننا سنستعرض في هذا المقال بعضاً من تطبيقات الليزر الجديدة مركzin بشكل خاص على استخدامه في

العليا باستخدام مخططات فاينمان . وتبين من ذلك أن الفعل الليزري يعدل خواص الفلورة ويعطي مفاعيل عديدة منها الاستقرارية الثنائية (Bistability) . إن المورة الكوانتية التالية هي صورة كلارين - غوردون التي تطبق على البوزوونات . إلا أن تفسير هذه النظرية لا يتفق مع التفسير الإحصائي لميكانيك الكم . مما دفع ديراك إلى وضع نظرية جديدة استطاعت أن تتجاوز معظم صعوبات النظريات الكوانتية الأولية وأن تصاف بشكل دقيق البنية الطيفية الناعمة (HFS) وتحدد خواص الالكترون والفوتون والشرينة وتدرس تفاعل الالكترون الوحيد مع الحقل ومختلف الانزياحات .

لكن رغم أن هذه النظرية لاقت فيله لورنتزي ، أي أن لها الشكل المناسب الذي تتطلبه النظرية النسبية الخاصة أوأن نقول كوانتما إن احتمال مشاهدة الظاهرة لا يتغير مع الزمن (وهذا سبب عدم تغير الفوء الفيزيائي في النسبية الخاصة) إلا أنها لاتستطيع أن تدرس النسبية والحوادث الفيزيائية في الجمل اللاعطالية (مثل مفعول Sagnac) الذي يعتبر المقابل الفوئي لنواں فوكو والذي يمكن كشفه باستخدام الليزر الحلقي (⁷) .

إن نظرية ديراك هي أساس نظرية تكميم الحقول الكهرطيسية - (QED , Quantum Electrodynamics) التي تعطي تفسيراً لأنزياح لامب (⁸) يتفق والنتائج التجريبية ، حيث وجداً مقدار هذا الانزياح يتناسب (⁹) مع $\frac{e^2}{4\pi^2}$ لهذا فهو من مرتبة 10^{-14} Hz ومن مرتبة $1 \mu\text{m}$ في الكلورين . وتحديد هذا الانزياح بدقة يمكنها من تحديد سرعة الفوء تصل إلى 10^{-10} .

المدرسة والمرتبطة بمعادلة شرودنجر بهاملتوني الجملة H . وتأخذ بالاعتبار مبدأ التقابل ومصفوفة الكشافة M وتفترض أن المؤشرات هي مصفوفات بسيطة لتبادلية (²) .

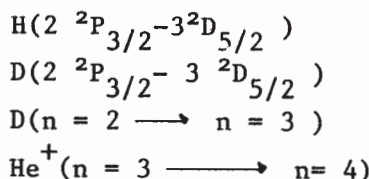
نجحت مورة هايزنبرغ في إظهار التقريب شبه الكلاسيكي وتبين أهمية الفعل وفق صيغة $B0hm$. وفي دراسة (³) بنية الذرات العادية والهجينة (Exoticatoms) والمعقدة (باستخدام Multichannel QDT وطريقة (⁴) R- Matrix) وبنية

الجزيئات العادية والمتهمجة (Dimersand Eximers) وارتباط ذلك بالمفاهيم الضوئية مثل الإمامدار والامتصاص والتبدد والتشتت (الذي يدرس باستخدام (⁵) S - Matrix)

أي تلك المفاعيل الخطية المستنيرة من معادلات مكسوبل التي لها شكل النظرية الكوانتية لفوتون وحيد ، لذا فالتكامل الثاني ليس ضروريًا إلا عند دراسة مجموعة من الفوتونات .

استطاعت هذه النظرية أيضًا أن تجد حلًّا لصعوبات تفاعل حقل الإشعاع مع الجملة الذرية سواء أكان الحقل مكونًا من حرمة حرارية فوتونية متزمرة أو من فوتونات ليزرية . وبينت أن حل المسألة يختلف بحسب كون الحقل ضعيفًا أم شديداً . وفي الحالة الأولى يُؤدي اتباع الطريقة شبه الكلاسيكية إلى معادلات بلسوخ (⁶) الضوئية وإلى إيجاد تفسير لمفعول ستارك المتنابب (A.C stark effect) . أما لدراسة الحقول الليزرية المترابطة الشديدة فلا بد منأخذ حدود الترابط المختلفة ؛ أي لابد منأخذ مفاعيل الذكرة الطورية والاضطراب من الرتيبة

(٩-٢) للالكترون والميون بالإضافة إلى معرفة العزم المغناطيسي العادي للالكترون $e\mu$ والبروتون μp يمكن أن تستخدم لاختبار نظريات نقض النوعية (١٤) QED (parity violation) في QED ونظريات CPT وفي ربط مع (Quantum chromodynamic) QCD. القياسات السابقة تمكناً أيضًا من تحديد $h/2e$ ومن ثم استنتاج h بدقة عالية (١٥) جداً وبالتالي الحصول على ثابتة ريدبرغ R بدقة تصل إلى 10^{-9} ويمكن مقارنة هذه الدقة بدقة قياس R باستخدام الطرق الطيفية الليزرية (١٦) (انظر الجدول ١) التي تستند إلى استقرارية الليزر العالمية. تلك الاستقرارية التي يمكن زراعتها باستخدام طرق تبريد الليزر نصف الناقل (١٧) حيث تستطيع التخلص من مفعول دوبлер من المرتبتين الأولى والثانية ومفعول زيمان من المرتبة الثانية والاتزياح نحو الأحمر (١٨). مما يفتح الباب واسعًا أمام اختراع الساعة المنبعية الذرية (١٩) (Atom Fountian) التي يُوْمَل أن تكون بداية سلسلة من الاختراعات التي ستؤدي إلى وضع جمل معايير وقياس جديدة.



استطاعت نظرية QED أيضًا استخدام تقنيات الأضطراب التعبير عن جميع المقادير الفيزيائية بدلالة نشر القوى المختلفة لثابتة البنية الناعمة (10^{-5}). وهذا النشر يعطي تطابقًا جيدًا بين النظرية والتجربة عند رتب الأضطراب الدنيا (١١). هذا التطابق كان ممكناً نتيجة استخدام طرق قياس جديدة تعتمد على قياس مفعول حول الكواントي (Quantum Hall) الذي يعطي قيمة Δ بدقة تصل إلى 0.024 PPm أي جزء من المليون أو قياس مفعول Josphson تصل إلى 0.056 PPm أو قياس نسبة k_p (Gyromagnetic ratio) للبروتون في الماء (H_2O) التي تعطي 0.037 ppm بدقة قدرها 1% وهذا يمكنا من معرفة العزم المغناطيسي الشاذ (٩-٢) للالكترون والميون بدقة عالية (١٣). والدقة العالية في قياس

109737.3130 ± 0.0006
109737.3150 ± 0.0006
109737.326 ± 0.008
109737.3208 ± 0.0085

الجديدين الإضافي والأصلية ولا يمكن أن نعرف أي منها بشكل منفصل .

إن نظرية إعادة التنظيم تبدو طبيعية إذا أعدنا النظر في مفهومنا للمكان والزمان عند المسافات الصغيرة والأزمنة القصيرة . وهذا سبب نجاحها في حل بعض المسائل الفيزيائية ، لكنها لا تبدو نظرية أساسية نظراً لوجود العديد من المسائل خارج مجال تطبيقها . لكن رغم محدودية هذه النظرية إلا أنها ساهمت في اتساع مجال تطبيق QED ، الذي لازال عاجزاً عن حل بعض المسائل الفيزيائية ولا يكتمل لابد من :

١- أن نأخذ بالاعتبار أن الجسيمات الثقيلة ليست شحنات نقطية .

٢- لابد منأخذ التفاعلات المحيطة بالجسيم بالإضافة إلى تفاعل الالكترون مع الفوتون .

٣- عند زيادة طاقة الجسيمات إلى حدود GeV. لابد من استبدال فكرة

الجسيم بفكرة الحقل عندئذ يلعب التأثير عن بعد دوراً كبيراً (21).

٤- تعليم نظريات QED بحيث يمكن أن تطبق على الجسيمات الأخرى بالإضافة إلى الالكترون والفوتوتون والميون (22) . ومعنى ذلك الاستفادة من مفاهيم نظريات تكميم الحقول QFT و QCD .

إن المعوقات السابقة بالإضافة إلى صعوبات أخرى (لامجال لذكرها) دعت بعض العلماء لاقتراح النظرية الكلاسيكية الجديدة (23) (Newclassical theory, NCT) والتي كلياً عن فكرة تكميم الحقل الكهرومطيسي .

إلا أن الدراسة والمقارنة أظهرت أن نظرية QED تعطي نتائجاً أكثر

كذلك فإن التجارب التي استفادت من تقنيات الليزر بيّنت أن التغير في شحنة الالكترون qe^{-10} لا يتجاوز 10^{-18} من شحنة الالكترون وأن شحنة الشترون qn^{-10} أصغر من شحنة الالكترون بمقدار 10^{20} مرة (11) ، وأن هذا بالإضافة إلى القياسات السابقة الدقيقة يساهم في اكتمال معرفتنا عن المقاييس الفيزيائية في الطبيعة . ويعتبر خطوة مهمة على طريق معرفة ما إذا كانت هذه الشواشب تتغير مع الزمن أم لا ، إذ يعتقد حالياً أن α تتغير بمقدار 10^{-16} في العام بينما ثابتة الجاذبية G تتغير بمقدار 10^{-11} في العام . ولهذا أهمية كبيرة في نظريات التوحيد .

إن التطابق بين التجربة والنظرية والذي أشرنا إليه سابقاً ، لا يعود جيداً عند رتب الأضطراب العلية (الحقيقة يوجد اختلاف قدره 0.2 MHz عند هذه الرتب) التي تبدو متباعدة نتيجة تباعد التكامل نظراً لوجود نقطة صفرية في معادلة الطاقة الذاتية (Self - energy) .

وللتخلص من هذا التباعد استخدم طريقة إعادة التنظيم (Renormalization) لكتلة الالكترون وشحنته الظاهرية (11) .

وهذا يعنيأخذ تفاعل الالكترون مع الحقل الكهرومطيسي بالاعتبار . عندئذ فإن تلك الأجزاء من الطاقة الذاتية غير المحتوأة في كتلة الجسيم يمكن قياسها ومراقبتها . بعد ذلك استطاع كل من (20, 11) فاينمان وتوماناغا وشو اينغر تعليم هذه الطريقة على جسيمات أخرى باستخدام مفهوم المتغير المرافق النسبي بإدخال حدود خاصة فهمت على أنها مساهمة QED إلى شحنة وكتلة الجسيم اللامتفيرة بالنسبة لتحولات لورنتز . عندئذ الكمية المشاهدة تجريبياً هي مجموع

واعتماداً على نظرية QED فمن الممكن برهان أن $\frac{E}{2} = \frac{K_w}{V}$ حيث E حجم المقاومة و K_w عازلية الخلاء .
لكن لما كان لا يمكن قياس a و a^+ فمن المفضل كتابة المعادلة (1) بدلاً من المقدارين القابلين للقياس ($E_1 = (a + a^+)$ و $E_2 = (a^+ - a)$) اللذين يمثلان الحقل الكهربائي الوحيد النسق بالشكل (25).

$$E = E_1 \cos \omega t + E_2 \sin \omega t \quad (2)$$

وفي حالة $|E_1| = |E_2| > E$ (أو بكلمة أخرى $K_w > 2$) حيث I التردد في شدة الحقل E فإننا نحصل على حد الصحيح الكوانتي . تمثل السوية التقليدية تحليلياً بمنطقة وسعة هذه السوية بشعاع من المبدأ إلى النقطة والطور بالزاوية ما بين هذا الشعاع E_1 (أو E_2) فهو استقطاب الشعاع على طول المحور (26) . كواتي E_1 و E_2 مؤشران مترافقان لذا فإن :

$$\Delta E_1, \Delta E_2 = \frac{1}{4}, [E_1, E_2] = i/2 \quad (3)$$

أي أن السويات الكوانتية هي منطقة ذات حدود غير معرفة . وهنا يمكن أن نعرف المتوسطات ومربيع متوسط القائم . إذاً السويات المترابطة هي أكثر السويات الكوانتية شيئاً بالسواءات الكلاسيكية (27) ، ونظرأً لكون $|E_1| = |E_2|$ فإن هذه السويات تمثل في المخطط الطوري (Phasediagram) بمخططات احتمالية دائريّة (Circular probability profile) ولذا فإنها تسمى السويات ذات الارتباط الأصغر والمخططات الاحتمالية لجميع السويات المترابطة متباينة ولكن متوسط

انسجاماً مع التجربة في معظم تجارب إشعاع الجمل الذرية والجزئية وبخاصة في مجال إشعاع هذه الجمل ضمن مجاوبة أو ما يطلق عليه الإلكترونات الكمية (الليزر) . لذا فإننا سنعتبر أن نظرية QED هي الأساس فيما تبيّن من هذا البحث .

٢- الفوء الفيزيائي الجديد :

إن اختراع الليزر أدى إلى إيجاد مفاهيم ضئيلة مبنية على مفهومي الفوء المترابط والفوء المضفوط اللذين يمكن إيفاجهما كما يلي :

إن المعادلة التحريريكية للهراز التوافقي البسيط في بعد واحد يعبر عنها بدلاً من الموضع وكمية الحركة P . كلاسيكيًّا x و P مستقلان، كوانتيًّا ، ونظراً لوجود تردد في x قدره Δx وفي P قدره ΔP ، فهما مرتبطان بعلاقة الارتباط . وبشكل مماثل يمكننا أن نعرف علاقة ارتباط بين تردد سوية طاقة ما و تواتر الانتقال بين سويتين مستقرتين . هنا نقول إنه لدينا سويات ذات ارتباط أصغر أو ما يسمى بالسويات المترابطة (Coherentstates) المسألة نفسها تظهر في التحرير الكهربائي حيث تمثل المكتفة الطاقة الرائدة بينما تمثل التحريرية الطاقة الحركية ، ولما كان تيار الانزياح $\frac{dE}{dt}$ ينبعزاج بمقدار 90° عن مولد الحقل المغناطيسي فإننا نقول إن الطاقة الكهربائية يمكن أن تؤخذ على أنها طاقة الهراز التوافقي البسيط (24) . نعبر عمما سبق بكتابية الحقل E بدلاً من مؤثري التخلف a والتدافي a^+ فيكون :

$$E = E_w (ae^{-i\omega t} + a^+ e^{i\omega t}) \quad (1)$$

بشكل عام لا يمكن الحصول على السويات المضغوطة إلا عند فتح ليزر باختر كما هي الحال في ليزر الأصبغة المضخ (29) بليزر YAG أو Nd: Ne ٠٠ الخ حيث أو في حال Helosteric laser يفتح ليزر الجسم الصلب بليزر نصف ناقل . ونوضح الخواص العامة لهذه السويات كما يلي :

- إن $\Delta E_2 = \Delta E_1$ وقد أمكن تخفيف الضجيج تجريبياً إلى دون تردد النقطة الصفرية بمقدار 25% ويمكن زيادة ذلك إلى 70% . وما سبق ناتج عن إعادة توزع لضجيج الخلاء . أي أن فوتونات الضجيج الكوانتي تحد من الحساسية التي تصل الآن إلى 10^{-18} . وهي قريبة جداً من الحساسية المطلوبة للكشف عن أمواج الجاذبية . ولعل الحصول على ذلك ممكناً بالاستفادة من تقنيات الليزر الجديدة (مثل ليزر الالكترون الحر FEL والليزر الحلقيوليزيز الأشعة السينية وأشعة غاما) وتقنيات السويات المضغوطة . ولهذا تطبيقات في مجال النسبية العامة التجريبية .
- تظهر هذه السويات ضجيجاً تابعاً للتطور . أي أن هناك علاقة ارتباط بين عدد الفوتونات وتطورها وهذا يفسر تنافس عدد الفوتونات في النفق بتنافس طول الموجة و إمكانية تغيير عرض الخط الطيفي بواسطة السويات المضغوطة .
- إن التوزع الفوتوني مادون بواسطته وهذا يؤدي إلى ظاهرة عدم تحريم الفوتونات الذي لا يوجد له مقابل كلاسيكي . لهذا يمكن أن يستخدم QED لدراسة العديد من مفاهيم

السعة يمكن أن يكون مختلفاً ، فمثلاً سويات الخلاء هي ذات سعة متوسطة معروفة وبشكل عام تختلف خواص السويات المترابطة كما يلي :

- إن $\Delta E_1 = \Delta E_2$ وكل منها يساوي تردد النقطة الصفرية التي تمثل الحد الكوانتي النموذجي .
- الضجيج في هذه السويات ناتج عن ضجيج الفراغ .
- تقبل هذه السويات توزع بواسطه ، لذا فعدد الفوتونات يتضمن مع $\langle I \rangle$ أو مع $\langle N \rangle$ أي أن توزع الالكترونات الحقل تابع دلتا . وبكلمة أخرى الالكترونات متزمرة أي أن الفوء مترابط عند لحظتين زمنيتين متتاليتين ولهذا تفسير كلاسيكي وكوانتي .
- إن تابع الترابط من الدرجة الثانية $\langle I^2 \rangle$ معروفة في هذه السويات . أما السويات المضغوطة $\langle I^{26} \rangle$ فتعرف Squeezed states بأنها سويات التي يكون ارتياها في أحد مركباتها أصغر مما هو في السويات المترابطة ، أي أن $\Delta E_1 < \Delta E_2$ أو أن نقول إن $\Delta E_1 < \Delta E_2$ بينما $\Delta E_2 > \Delta E_1$ وبكلمة أخرى نقول إن السويات المضغوطة هي سويات ذات ارتياها أصغر (27) حيث $\Delta E_2^2 = (\Delta E_1)^2$ أي أنه يمكن أن نحصل على $\Delta I < I_{\text{shot}}$ (حيث I_{shot} حدود الضجيج الكوانتي) عن طريق مزج ليزريين (28) ذي طولين موجيين متساوين (Homodyne) أو ذي طولين موجيين مختلفين (Heterodyne) .

أما جزيئات فان درفالس ، فهي جزيئات ضعيفة الترابط ، وترتبط معاً بقوى التجاذب ذات المجال البعيد (Longrange) وفقاً للحد الثاني من كمون ليونارد - جونز والنتائج عن التفاعل بين ثنائيات الأقطاب الكهربائية أو بين ثنائيي رباعي القطب الكهربائيين . وهذا التفاعل يعقد حركتها وخصوصاً الانتقالية والمدمية ويجعل معدل إصدارها مختلفاً عما هو في الجزيئات العادية (32) .

إن الفائدة الأساسية لسوبر ريدبرغ وجزيئات فان در فالس تتجل في أنهما يمثلان الحد الكلاسيكي (33) للجمل الكوانتية (وهذا سبب تسميتها بالذرات الحدودية وتسمية طيفها بالأطیاف الحدودية) وهذا (Frontier spectroscopy) يسمح بدراسة الانتقال من الفوضى في الجمل الكلاسيكية إلى مقابلتها الكوانتية (34). ولهذا أهمية كبيرة في التحرير اللاخطي والفوبي الذي يعتبر أساساً عالياً

وهنا يجب أن نلاحظ أن الإحصاء مادون
ال بواسوني وعدم التحرز ليسا متماثلين
ولكن ظهور هذا الإحصاء يؤدي إلى
جعل الاندثار أبطأ مما هو عليه
عندما ينظر إليه من وجة نظر الحركة
• البر اونية

- إن $g^{(2)}(0) < 1$ وهو يسمى بدراسة تحزم وعدم تحزم الفوتونات .

- الأطياف الحدودية :

يقصد بذلك دراسة طيف سويات ريدبرغ في الذرات والجزيئات وطيف جزيئات فان در فالس . تتألف ذرات ريدبرغ من النواة والالكترونات الداخلية والكترون موجود في مدار بعيد جداً (15) عنها . هذا الالكترون يرى لب (core) الذرة كشحنة نقطية متماسكة معًا إلا أن طور التابع الموجي لهذا الالكترون ينراوح بالنسبة لطور التابع الموجية للعناصر الشبيهة بالهيدروجين (30) . وهذا الانزياح يمثل الفعل الاضطرابي ذو المدى القصير (Shortrange) مع الالكترونات اللبية ويعبر عن ذلك بدلالة التشوه الكواتنتي (Quantum Defect) الذي يظهر في علاقة ريدبرغ لطاقة السويات المقيدة (bound) وقد أوضحنا الخواص الأساسية لهذه السويات في الجدول

الكمية	ف	التعرير	2	10	30	100	الواحدة
الطاقة	$E = \frac{Rao}{(n-\delta)^2} = \frac{R_o}{n^2}$		3.4	0.14	0.015	0.00014	ev
نصف القطر	$\langle r \rangle = a_o n^{1/2}$		4	100	900	10000	a_o
المساحة	$\pi \langle r^2 \rangle$		16	10	8.1×10^5	10^8	πa_o^2
زمن الحياة	T		2×10^{-3}	0.151	23	1600	μs
التوتر	D		2.5×10^6	6600	240	6.6	GHz
حقل التشerd	E		5×10^7	3×10^4	420	3	V/cm
الاصدار التلقائي	$A_{nn'} = \frac{e^2}{C^3} W^3 r_{nn'} $						
	a) $n' > n, A_{nn'} n^{-3}$		0.125	10^{-3}	3.7×10^5	10^{-6}	sec^{-1}
	b) $n' < n, A_{nn'} \propto n^{-5}$		3×10^{-2}	10^{-5}	4.4×10^8	10^{-10}	sec^{-1}
ثنائي القطب الكهربائي	$r_{nn'} = e a_o n^{1/2}$		4	100	900	1000	$e a_o$

الجدول رقم / 2 / : ونوضح فيه خواص سويات ريدبرغ في الذرات ومن هذه الخواص نستطيع أن نجد الخواص الأخرى كالاستقطابية . . . الخ. هذه المفات تتبع القوى المختلفة للعدد $\delta = n^* - n$ حيث δ الانحراف الكوانتي وهو معرف بالنسبة للعديد من العناصر كما في الجدول :

NaI	MgII	AlIII	Si IV	P V	P VI	CIVII
δ	1.374	1.098	0.924	0.804	0.713	0.642

إذن δ يتناقص على طول السلسلة لأن الشاردة تصبح قريبة من الذرات شبيهة بالهيدروجين وبالتالي فالاضطراب يصبح صغيراً ويزداد فعل كولوث . . . ٤- مفاعيل الفوتونات المتعددة : تشتت رامان⁽³¹⁾ . لكن تقدم تقنية الليزر مكنت العلماء من استخدام امتصاص فوتونين للحصول على نسبات ليزرية استطاعتتها من مرتبة W^6 ذات عرض مع بدء اختراع الليزر ظهرت مفاعيل الفوتونات المتعددة، وأوضح مثال على ذلك

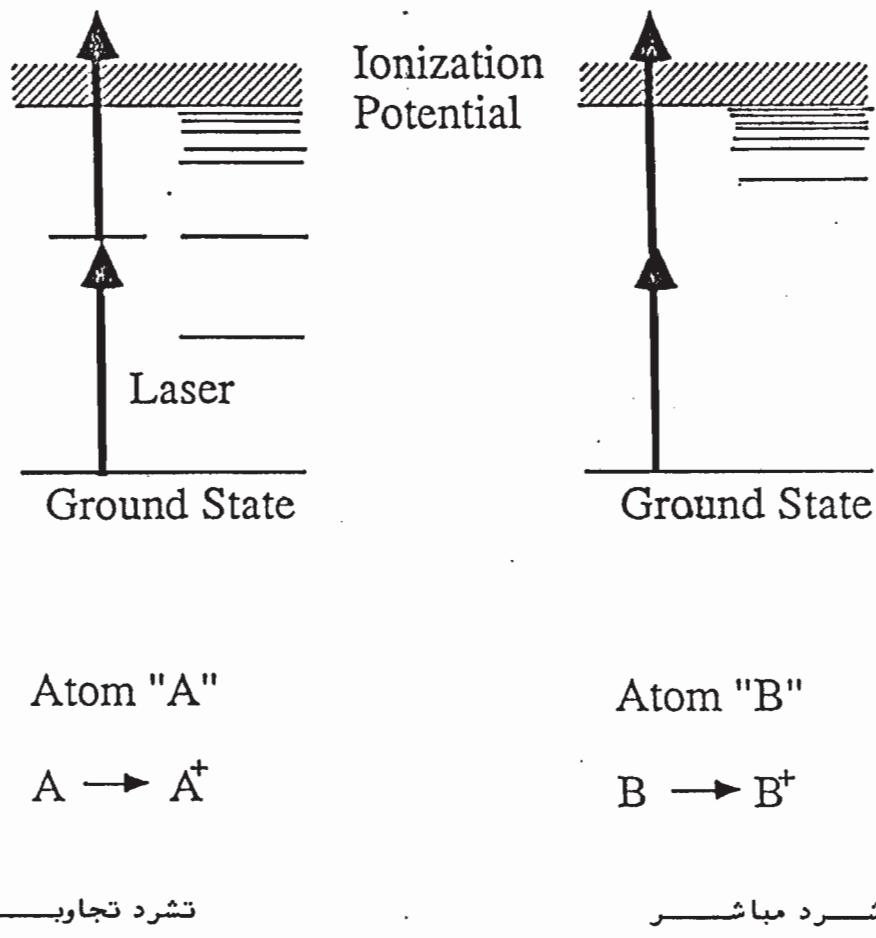
كما هي الحال في ابخرة العناصر القلوية (Na, K, Cs,) ولتحقيق ذلك فاننا نحتاج الى $(m=1, 12, 13, \dots)$ فوتون لتهييج الذرة من السوية (Intermediate state) الى السوية الوسطية (Intermediate state) والتي يمكن ان تكون سوية ريدبرغ . بعد ذلك نحتاج الى $n=1$ او $n=2$ فوتون للتشريد من السوية الوسطية $\rightarrow |1\rangle$ عنديد نقول انه لدينا عملية تجاوب $|45\rangle^m$ فوتون وعملية تشريد $(n+m)$ فوتون تجاوبي او ان نقول ان العملية هي $(n+m)$ تشريد فوتوني محسنة متعددة (Resonance enhanced multiphoton ionization . REMPI)

هو إمكانية الحصول على معلومات عن الانتقالات الطيفية الممنوعة وفق انتقال فوتون واحد في بعض النظائر والمسمومة وفق فوتونين في نظائر أخرى . ولهذا أهمية كبيرة في التبريد الانتقائي لبعض النظائر دون سواها . مما يوفر طريقة جديدة تختلف عن طريق تغريق النظائر التي سبقت (Enrichment) أداة استخدمت في أخصاب

من مرتبة (35) GHz أي عرض نصفة من مرتبة النانو ثانية وما دون وذلك باستعمال صياغ مناسب ومضاعفة التواتر في بلوره مناسبة . كما أصبح توليد التوافق الثلاثي (36) THG للتواتر معين (عن طريق مزج أربعة أمواج في البلورات أو الغازات (37) عملا شائعا، وأمكن مؤخراً الحصول على الخط الطيفي $\lambda = 1216 \text{ A}^\circ$ المهم جداً في تبريد الهيدروجين (38) وعلى تواترات ذات رتب عالية في الغازات (39) . كما يأمل العلماء في الحصول على ليزر في مجال UV - x (وفي مجال الأشعة السينية) باستخدام تقنية التبريد المتتالي Stepwise ionization (40) للحلقات الداخلية في العناصر الثقيلة (41) . وهذا يعني وجود أنظوال ليزرية مولفه تتغطي مجال UV و X-UV مما يسمح باستخدام الطرق الاختبارية لدراسة التفاعلات الكيميائية بين الجزيئات (42) والتشدد ما فوق العتبة (43)

في الذرة والجزيء وما يطرأ على السذرة (43) وبخاصة ذرة الهيدروجين من (44) وذرات العناصر الخاملة) أثناه وجودها في حقل كهرطيسي ليزري كهذا . بالإضافة إلى سويات ريدبرغ وجزيئات فان در فالس التي سبق الإشارة إليهما . وما سبق ما هو إلا تطبيق لمفهوم المفاعيل الفوتونية المتعددة اللاحتجائية (44) .

رغم أن طاقة الليزرات المتوفّرة حالياً تصل إلى $50\ 000 \text{ cm}^{-1}$ إلا أنها ليست كافية لتشريد معظم الذرات بشكل مباشر (انظر الجزء اليميني من الشكل) إلا أنه يمكن استخدام الطّرق التجاوبية لتشريد العناصر التي يتراوح



الشكل (١) : ويظهر الفرق بين التشرد المباشر حيث تنتقل الذرة من السوية الأرضية إلى سوية التشرد نتيجة فقدانها الالكترون ، والتشرد التجاوبى الذي يستفيد من مفهوم السويات الوسطية .

Isotope	Natrual Abundance %	Enriched Abundance%	Prices \$/Mole	Methode of separation
D	0.015	99	1	Chem. exchange
¹² C	98.9	-	-	-
¹³ C	1.11	96	10 ³	Diffusion.
¹⁴ N	99.6	-	-	-
¹⁵ N	0.37	-	-	-
¹⁷ O	0.037	40	10 ⁵	Distilation.
¹⁸ O	0.204	-	-	-
³⁷ Cl	25	90	6x10 ⁴	Calutron
⁴⁰ Ca	97	-	-	-
⁴² Ca	0.64	-	-	-
⁴³ Ca	0.145	-	8x10 ⁶	-
⁴⁴ Ca	2.06	-	-	-
⁴⁶ Ca	0.003	-	12x10 ⁷	-
⁴⁸ Ca	0.18	-	12x10 ⁶	-
⁵⁷ Fe	2.19	90	2x10 ⁵	Calutron
⁷⁹ Br	50	99	6x10 ⁵	Calutron.
¹⁹⁶ Hg	0.15	48	1x10 ⁸	Calutron.
²³⁵ U	0.75	3	1x10 ³	-
²³⁸ U	99.7	-	-	-

الجدول / 3 / : حيث وضعت في العمود الأول النظير المدروس وفي العمود الثاني النسب المئوية للتواجد الطبيعي للعنصر وفي العمود الثالث النسبة المئوية للاخصاب وفي العمود الرابع كلفة المسوول بالدولار بينما وضعت في العمود الأخير طريقة الإخصاب المستخدمة .

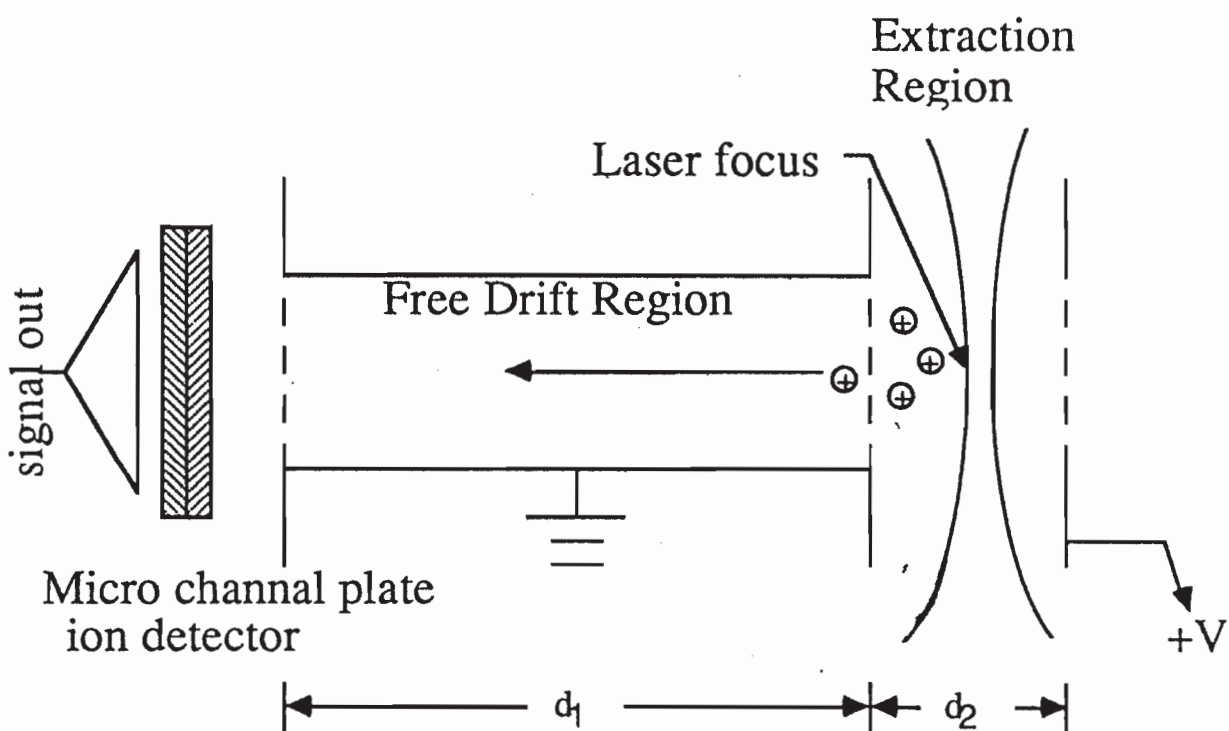
ذلك الذي يستخدم قطاعاً مغناطيسيّاً
بواسطة عدة فوتونات لبعض النظائر :
يعتمد على قياس زمن طيران الشاردة
انظر الشكل Time of Flight, ToF)
) ورغم أن لهذه المقاييس قدرة
تحليلية عالية على فصل النظائر

ـ الطيف الكتلي التشردي التجاوبي
إن دراسة التجاوب الفوتوني في
بعض النظائر يتطلب استخدام المطياف
الكتلي Mass spectromet سواء

وهذه الطرق تتبع عرض حزمة الليزر⁽⁴⁵⁾. فإذا كانت الحزمة عريضة وتشرد كل النظائر انتقائياً وفي آن معاً نقول إنـسانـدرـسـ الطـيفـ الـكتـلـويـ التـشـرـدـيـ Resonance IOnization - (Mass spectroscopy, RIMs) وكما أوضحنا فإن الطرق الطيفية التجاويب ومنها طريقة RIMS تستفيد من مفهوم السويات الوسطية . حيث نستخدم فوتوناً أو فوتونين (أي ليزراً ذا طول موجي λ_1 أو ذا طوليّن موجيين λ_1 و λ_2 وفي بعض الحالات قد يكون $\lambda_1 = \lambda_2$) لنقل الذرة إلى السوية الوسطية ومنها إلى سوية التشرد .

إلا أن انتشار طاقة الشوارد البدائية يجعل دقة تحليلية محدودة⁽⁴⁷⁾ . لذا يضاف إلى الجملة (في حال استعمال ToF MS) عاكسن كهراوكدا لجعل الشوارد أكثر تناسقاً مما يودي إلى زيادة المقدرة التحليلية⁽⁴⁸⁾ (المطياف وتوسيع مجال استخدامه ليشمل التذرية⁽⁴⁹⁾)

لكن التداخل الجزيئي وتماثل العناصر يمنعان استخدام تقنية المطيافية الكتلية التقليدية . لذلك فإن الطرق التجاويبية التشردية الفوتونية المتعددة (MPI) تستخدم للكشف عن الدرات والجزيئات البسيطة .

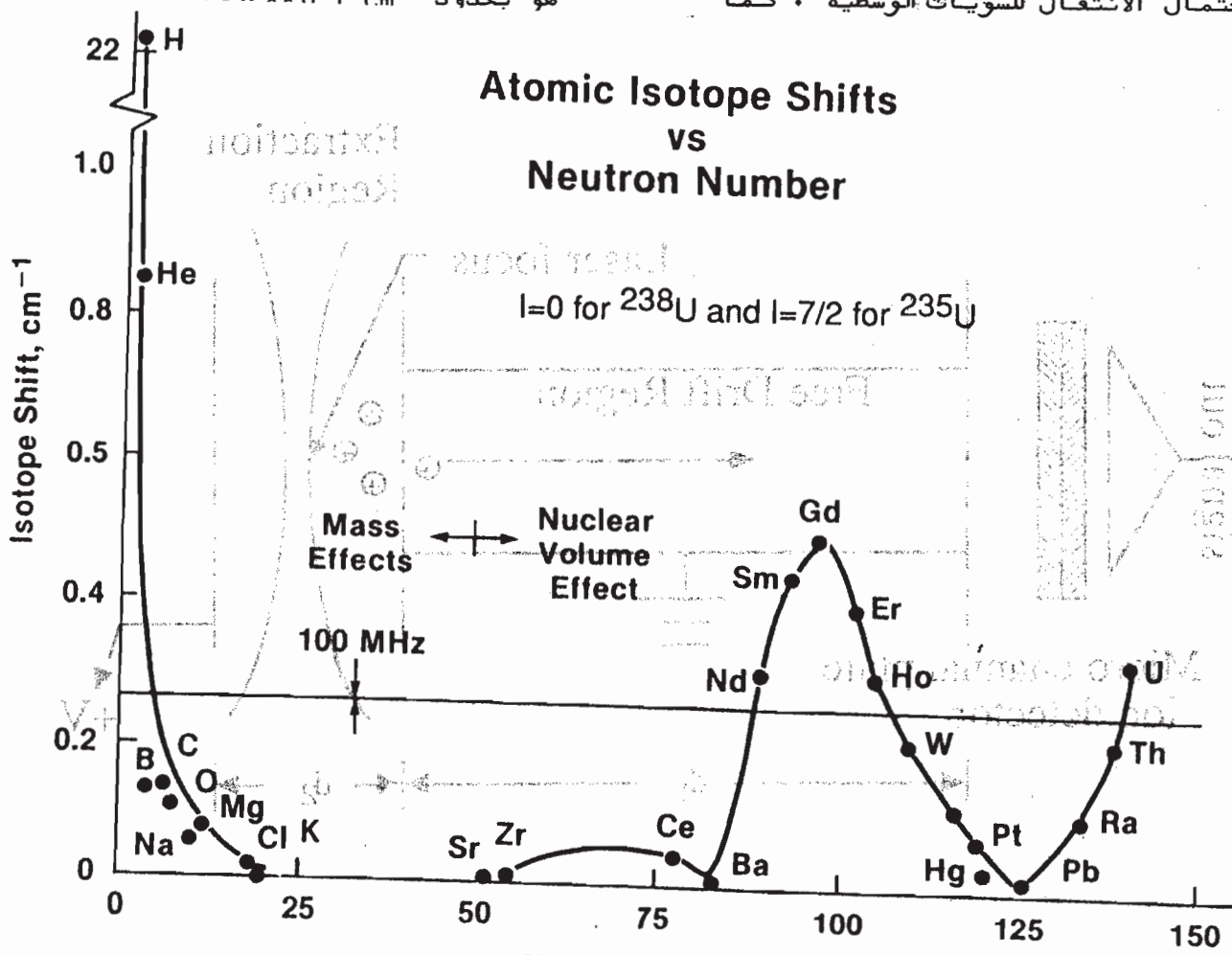


الشكل ٢ / : ويظهر مخططاً لقياس الطيف الكتلوي (TOFMS) وقد بنيت هذه الجملة بشكل قابل للتغير بحيث يمكن إضافة كاشف للسويات شبه المستقرة أو إضافة عاكس كهراوكدي لزيادة مقدرة الجملة على الكشف واستخدامها في مجالات متعددة .

(ونسبة النظائر) لكميات صغيرة (50) تتراوح قيمها بين جزء من المليون (1PPm - 1PPb) إلى جزء من البليون (1PPb)، ولهذا أهمية كبيرة في دراسة العينات المفيدة في التقطيل العنصري في انتصاف الشوافل والشوائب والبيولوجيا والغبار الجسيمي والاحتراق الداخلي واللتهب (51) . وللاستفادة من طريقة RIMS يمكن اتباع إحدى الطريقتين التاليتين :

التي إن أكثر أثرها في التقطيل الذي ينتجه عن كتلة وحجم الكرة ومقاعيل أخرى (انظر الشكل 3) كبير جداً بالمقارنة مع عرض الخط الطيفي الليزري (الذي هو بحدود 1 cm^{-1})

إن طريقة RIMS تمكنا من إجراء تهيج فوتوني متعدد لسوبيات التشريد الآلي (Autolonization) بتحسين تجاوبي . وهي حساسة جداً وتحتاج إلى معايير مترافقية عالية تصل إلى 10^{10} . وهذه الخواص بالإضافة إلى بعض الحسابات الممكنة في العناصر البسيطة (لما العديد من الفراغات النظرية الموجودة) تجعل من الممكن الحصول على معلومات مفيدة للكيميائيين التحليليين والفيزيائيين الذين عن البنية الذرية مثل سطح مقطع التشред الضوئي لسوبيات التشред والمتالي إمكانية قياس معدلات التشред الآلي واحتمال الانتقال لسوبيات الوسطية . كما

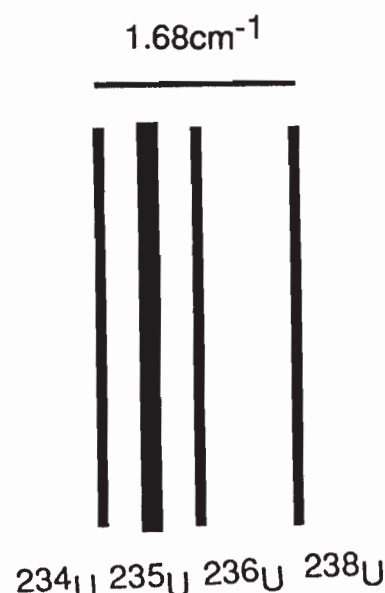


Neutron Number

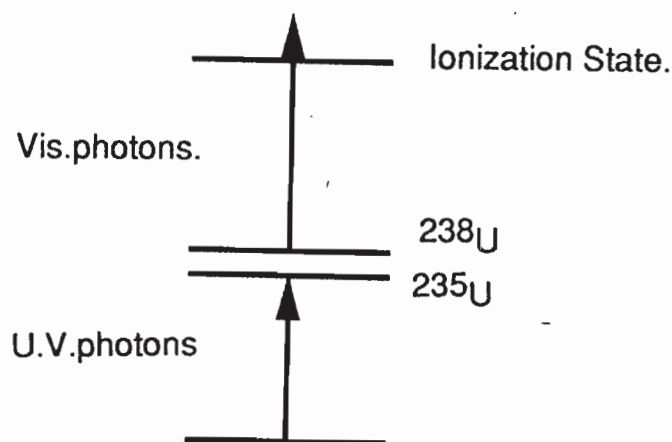
ست - ٣٠ / مسي يظهر عيير الانزياح النظائري (مقيساً بواحدة Cm^{-1}) بتغير عدد الميترونات كما يتضح على الشكل أيضاً أثر كل من كتلة النواة وحجمها. يلاحظ أن أثر الكتلة واضح في العناصر الخفيفة بينما أثر الحجم واضح في العناصر الثقيلة.

على ذلك لتفريق ^{235}U عن بقية النظائر (انظر الشكل 3) . والفرق في طول موجة نظيرين متقاربين يساوي $7 \times 10^{-7} \text{ cm}$ (2-5) من طول موجة الانتقال التجاوبي الذي

الأشر الحجمي والكتلوي في العناصر التي وزنها الذري M يتراوح بين



الشكل (4) الذي يظهر انزياح مختلف نظائر اليورانيوم نتيجة أثر الفعل النظائري



الشكل (4b) : ويظهر كيفية الاستفادة من انزياح النظائر في تفريقي ^{235}U و ^{238}U بعضهما عن بعض حيث يهيج النظير ان بواسطه فوتونات مافوق بنفسجية (UV) ولزيز مرئي (Vis) مناسب لتفريق (عن طريق التشرد) ^{235}U عن ^{238}U أو العكس بحسب الطول الموجي المستخدم) وبهذه الطريقة تم إخضاب ^{235}U (الذي يوجد في الطبيعة بنسبة 0.7 %) إلى 3 % (انظر الجدول 3) .

و $\frac{\Delta E}{\hbar} = 2w$ أي أن انزياح دوبлер معدوم وكل الذرات بغض النظر عن سرعتها تمتثل فوتونين (2w) رغم أن سطح مقطع الاصطدام (57) من أجل فوتونين هو $cm^4 sec^{50-15}$ ؛ أي أن احتمال هذه المفاعيل أقل بمقدار 10^{-2} من احتمال الانتقال لفوتون وحيد . إلا أن حقيقة كون كل الذرات في سوية الامتصاص المدروسة يمكن أن تساهم في الإشارة الناتجة يعادل احتمال الانتقال الصغير ليصبح في بعض الحالات أكبر مما هو في حالة الإشارة المشبعة لفوتون وحيد .

إن الحلولية تبين الساقيةتين يمكن بشكل عام أن تستخدما لدراسة التبريد الانتقائي للجمل التي تحوي في مدارها الأخيير الكترونين .. والمخطط العام لاستخدام أي من هاتين الطريقتين وفق RIMS في هذه العناصر موضح في الشكل (5) حيث ت Shard الحزم الذرية بوساطة ليزر (أو ليزرات) مؤلف وينتاج عن الت Shard حزمة من الشوارد (Ions) تدخل إلى مقياس الطيف الكتالوي والكافش المستخدم موصول إلى مجموعة معالجة المعلومات . لقد اتبعنا الحلولية تبين الساقيةتين لتبيان كيفية التبريد الانتقائي لكميات من مرتبة البيكوجرام من الكالسيوم (58) والزنك (59) لكننا هنا سنقدم دراسة موجزة عن كيفية تحقق ذلك في الكالسيوم فقط .

٦- الت Shard الانتقائي التجاوبى الكتالوى لنظائر الكالسيوم :

لقد بيّنت الدراسة أنه يمكن تجريبياً إجراء الت Shard الانتقائي التجاوبى الكتالوى في الكالسيوم بالاستفادة من ممیزات

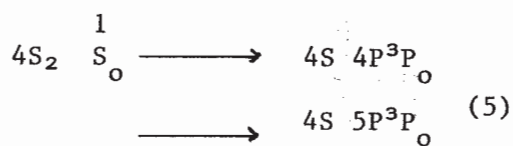
يمكن مشاهدته بسبب انزياح البنية الدقيقة (HFS) . لكن النظائر الفردية تملك عزماً مغناطيسيّاً نووياً (59) لذا فكل الانتقالات الممكنة والتي تبدأ من السوية الأرضية وتنتهي على سويات ذات نوعية فردية (Odd parity) حيث :

$J=0$ هي انتقالات مسموحة وفق قواعد العزم الذاتي النووي الذي يحرض مفاعيل ثنائية القطب كهربائياً تؤدي إلى مزج (Mixing) الانتقال $J=0 \rightarrow J=0$ بمقدار يتناسب مع مزج الانتقال بين $J=1 \rightarrow J=0$ وبالتالي فالانتقال الممنوع وفق قواعد ميكانيك الكم (رغم أن J عدد كوانتي جيد) يصبح مسموحاً في نظائر العناصر (53) الفردية مثل ^{67}Zn و ^{43}Ca .

-٢- بالنسبة للنظائر الزوجية فإن (54) انزياح دوبлер يقارن بانزياح النظائر . ولذا يجب أن تدرس هذه النظائر بوساطة تجاوب فوتونيّ أي بوساطة التجاوب الفوتوني الحالي من انزياح دوبлер في المطياف الكتالوي (55) . ويتم ذلك بـ نرسل إلى العينة المطلوب دراستها طولين موجيين متعاكسين في الاتجاه ومتساوين في القيمة فيصبح شرط التجاوب (56) .

$$\frac{1}{\hbar} (E_f - E_i) = w'_1 - w'_2 = \\ w_1 + w_2 - v (h_1 + h_2)$$

(حيث E_f و E_i طاقة سويتي النهاية والبداية و $w' = w - vh$ ، انزياح $h_1 = h_2 = w_1 = w_2$ و دوبлер) في حال

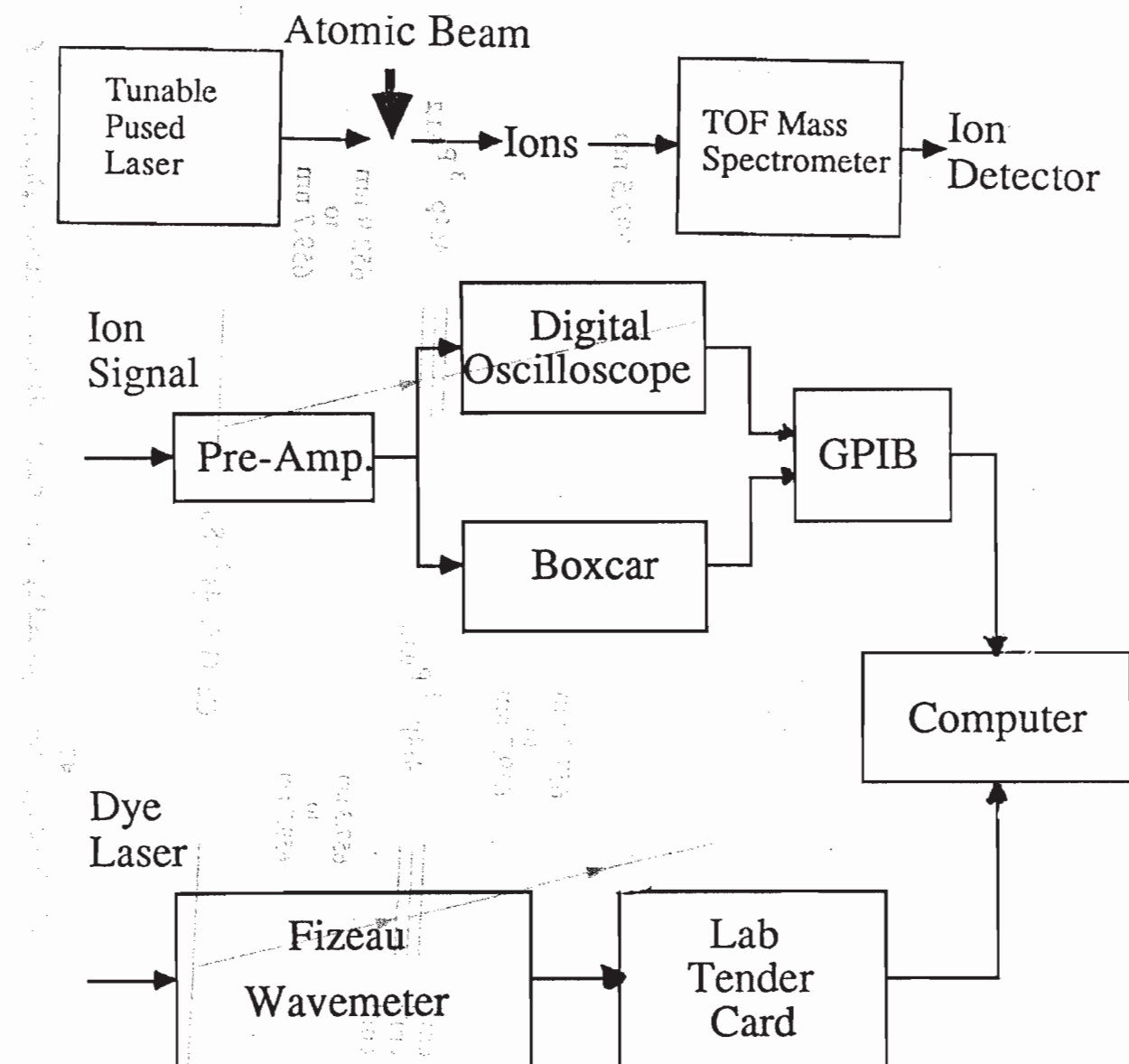


إذ التحسين مردود التهيج والحمل على انتقالات نظرائية لابد من أن يمر التشد عبراحدى السويتين $4S4P$ أو $4S5P$ ولتشريد الجملة عبر السوية الوسطية الأولى تحتاج إلى ضخ الجملة الذرية بثلاث فوتونات.

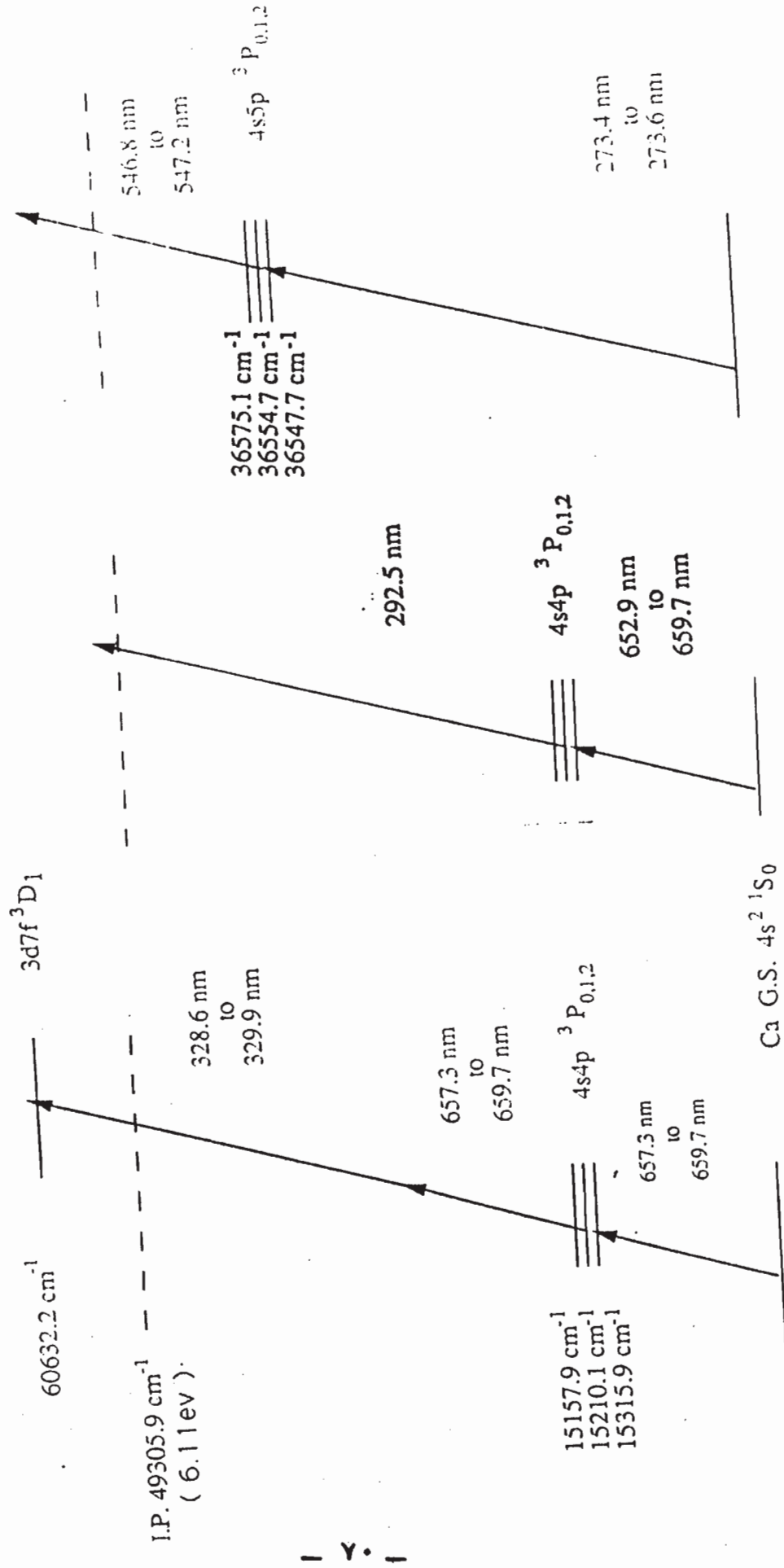
بعض الانتقالات والتي سنوضحها كمالي:

آ- الانتقالات المحرضة بالانتقالات النظائرية النتروية :

لقد درست هذه الطريقة وطبقت على ^{43}Ca (النظير الوحيد الفردي في الكالسيوم) بتوليف طول موجة الإشعاع الليزري بحيث يتجاوب مع أحد الانتقالات (اللذين لهما نوعية نوية) التاليين.

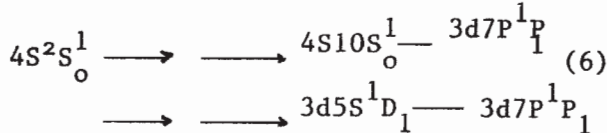


الشكل / ٥ / : حيث يظهر في الجزء العلوي المخطط العام لاستخدام طريقة RIMS في العناصر التي تحوي في مدارها الأخير الكترونين فقط وفي الجزء السفلي تظهر تفاصيل جملة معالجة المعلومات المستخدمة تجريبياً .



الشكل (٦) الذي يظهر مختلف المخططات الممكن اتباعها لتفريغ Ca عن بقية النطائر ٤٣

عالية للنظير ^{48}Ca من النظائر الزوجية الأخرى شرط أن يمر التشред عبر أحد الطريقين التاليين :



لكن قبل ذلك لابد من تحديد أي من الطريقين السابقين هو الأفضل أي لابد من دراسة مردود التشред وفق كل من الطريقين (60) . وهذا ما تمت دراسته باستخدام فوتونين حيث الطول الموجي باستخدام المخططات كي نصل إلى سوية التشред يجب أن نستخدم ليزرتين من لونين مختلفين (ومن هنا تسمى عملية التشред هذه بعملية التشред ذي اللونين) ويجب أن يكون الليزران قادران على إعطاء طاقة قدرها 60632.2 cm^{-1} كافية للوصول إلى السوية $3d7f^3D_1$ (انظر الشكل 7) .

من رسم الإشارة الشاردية الكلية لكتابع لتدفق (I_{dt}) فوتونات الطول الموجي 843 nm من أجل التشред عبر السوية $3d5S$ (وإبقاء إشعاع الطول الموجي 421.5 nm ثابتاً) . ثم رسم المخرج الشاردي كتابع لتدفق الإشعاع 421.5 nm عبر السوية نفسها (مع إبقاء الإشعاع 843 nm ثابتاً) استطعنا أن نبين أن الفوتونات التي طول موجتها 843 nm أكثر فاعلية في التشريد وأن معدل التشред يصعد معدوماً عندما ينعدم (60) الإشعاع الذي طول موجته 843 nm .

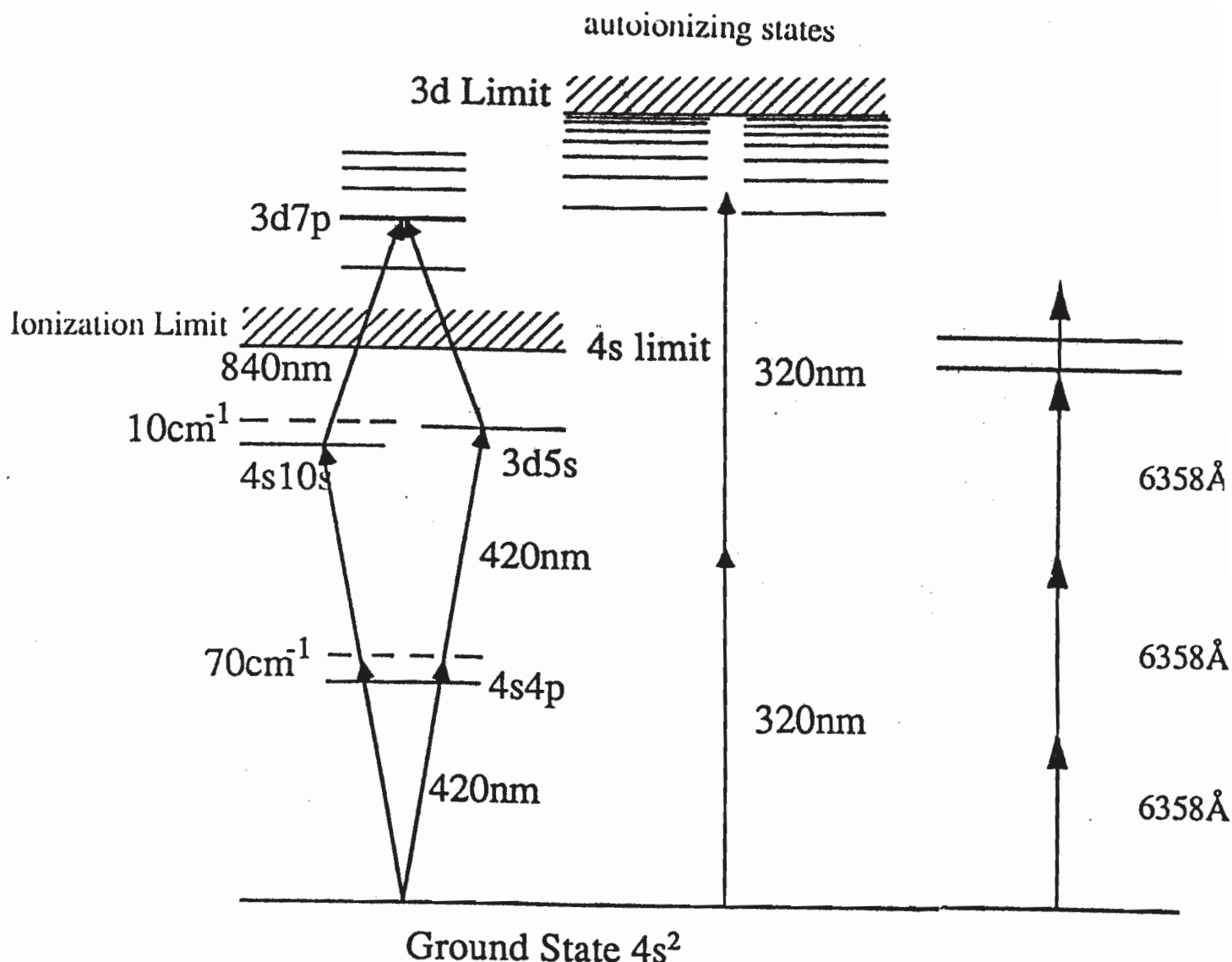
إذ نحتاج إلى فوتون أحمر لإحداث التهيج وفوتونين آخرين أحدهما أحمر والأخر مأ فوق بنفسجي لإحداث التشред (انظر الشكل 6a) أو يمكن أن نقوم بذلك باستخدام فوتونين أحدهما أحمر للتهيج والأخر مأ فوق بنفسجي للتشهد (انظر الشكل 6b) . أما للحصول على انتقالية نظرائية عبر السوية الوسطية $4S5P$ فإننا نحتاج إلى فوتون في مجال UV للتهيج وفوتون آخر أصفر للتشهد (انظر الشكل 6c) . وفي جميع هذه المخططات كي نصل إلى سوية التشред يجب أن نستخدم ليزرتين من لونين مختلفين (ومن هنا تسمى عملية التشهد هذه بعملية التشهد ذي اللونين) ويجب أن يكون الليزران قادران على إعطاء طاقة قدرها 60632.2 cm^{-1} كافية للوصول إلى السوية $3d7f^3D_1$ وغم أننا سبنا في تجاربنا إمكانية استخدام جميع المخططات السابقة وحصلنا من ذلك على نتائج جيدة حول الاستفادة منها في تفريق ^{43}Ca عن بقية النظائر إلا أننا ركزنا اهتمامنا على المخطط (6a) لأنها أكثرها أهمية وأفضلها مردوداً .

ب - الانتقالات الخالية من تعرض دوبيلر : يمكن أن ن shredd نظائر الكالسيوم الزوجية بشكل مباشر بوساطة ثلاثة فوتونات مرئية أو فوتونين في مجال UV (انظر الشكل 7) . لكن سبق أن بيننا أن التشهد المباشر أقل مردوداً من التشهد التجاري . لذا يستفاد من قرب السوية الوسطية $4S5P_1^P$ (التي تبعد 66.4 cm^{-1} و 72 cm^{-1} عن سوية التجاوب الوسطية للانتقالين في تحسين مردود التشهد والحصول على انتقالية

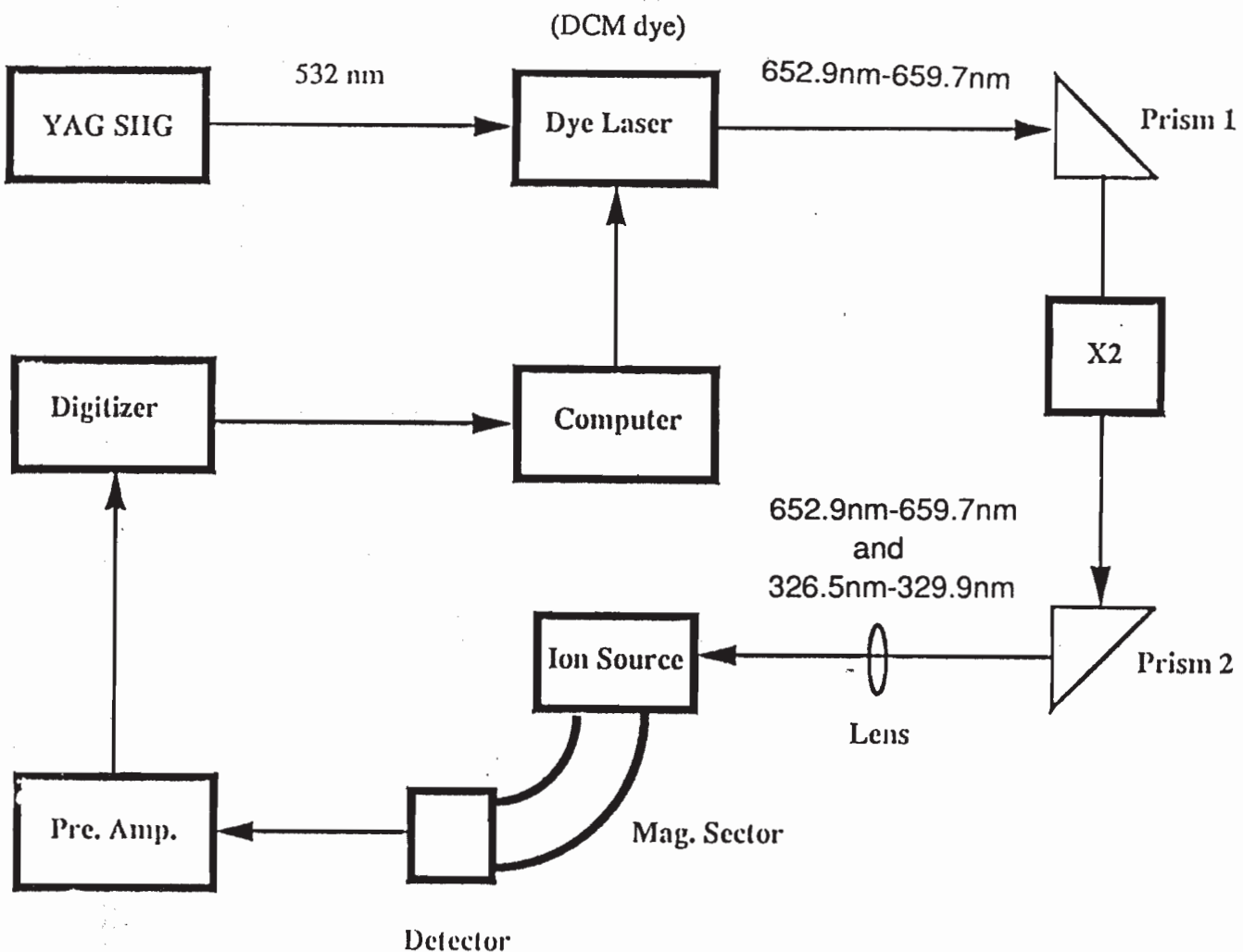
إن المخطط التجاري العام المستخدم لتحقيق التشرد التجاوري للكالسيوم بفوتونين أو ثلاث فوتونات موضح في الشكل (8) . والعناصر الأساسية في هذا المخطط هي :

١- جملة المذري (Atomizer) (61)
الذي يقوم بتبخير الكالسيوم الموضع على مهبط من الرينوم المعاير حرارياً.

وبإجراء رسم مماثل من أجل التشرد عبر السوية $4S10S$ وإجراء مقارنة بين التشرد عبر السويتين $4S10S$ و $3d5S$ وبين أن مردود التشرد عبر السوية $4S10S$ أقل مردوداً من التشرد عبر السوية $3d5S$ ولذا فقد اتبعنا في تجاربنا هذا الطريق .



الشكل / ٧ / : ويظهر مختلف المخططات الممكن اتباعها لتثريق ^{48}Ca عن مختلف نظائر الكالسيوم .



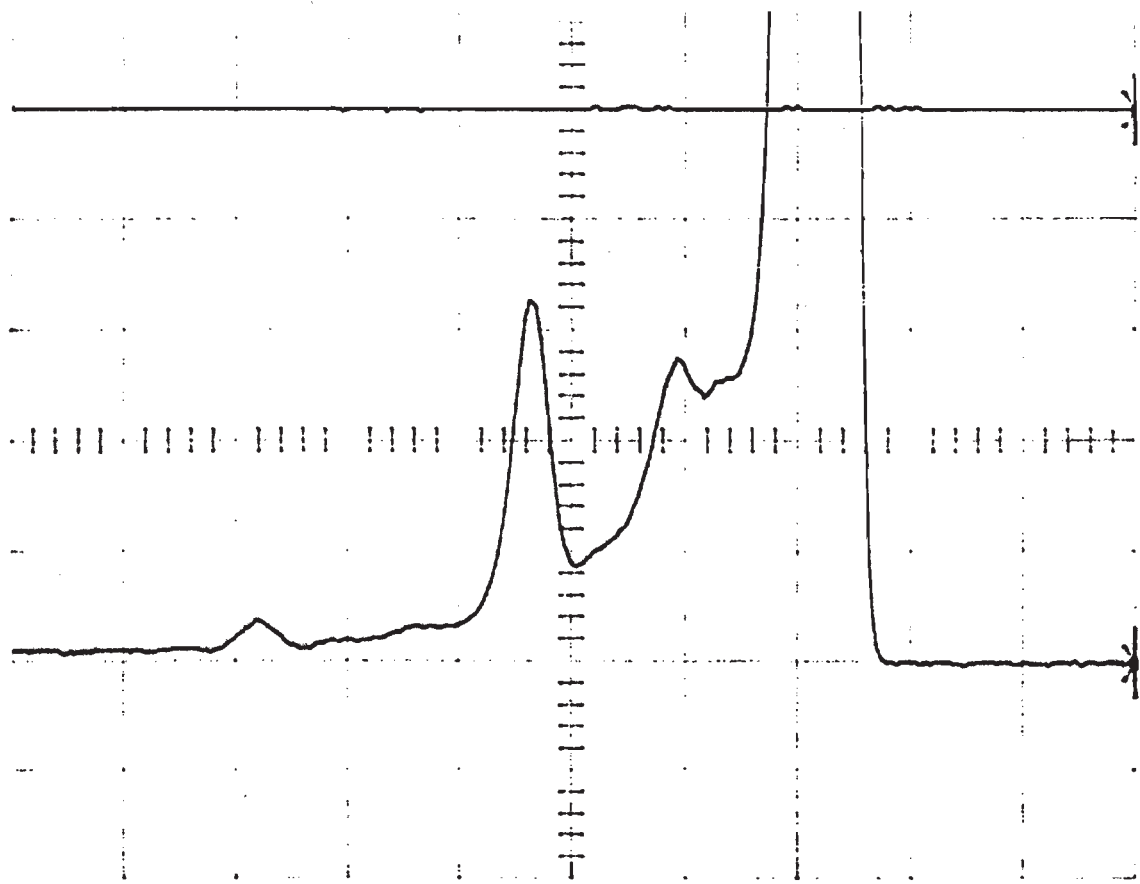
الشكل / ٨ / : الذي يظهر المخطط التجاري العام المستخدم لتفريق
نطائر الكالسيوم يوم

وتحتاج هذه الجملة بأنها قابلة للتبديل والتحسين نظراً لارتباطها مع جملة تفريغ قادرة على إعطاء فقط من مرتبة 10^{-10} torr (علماء بأننا لم نحتاج في تجاربنا الحالية إلى ضغوط أقل من 10^{-8} torr)

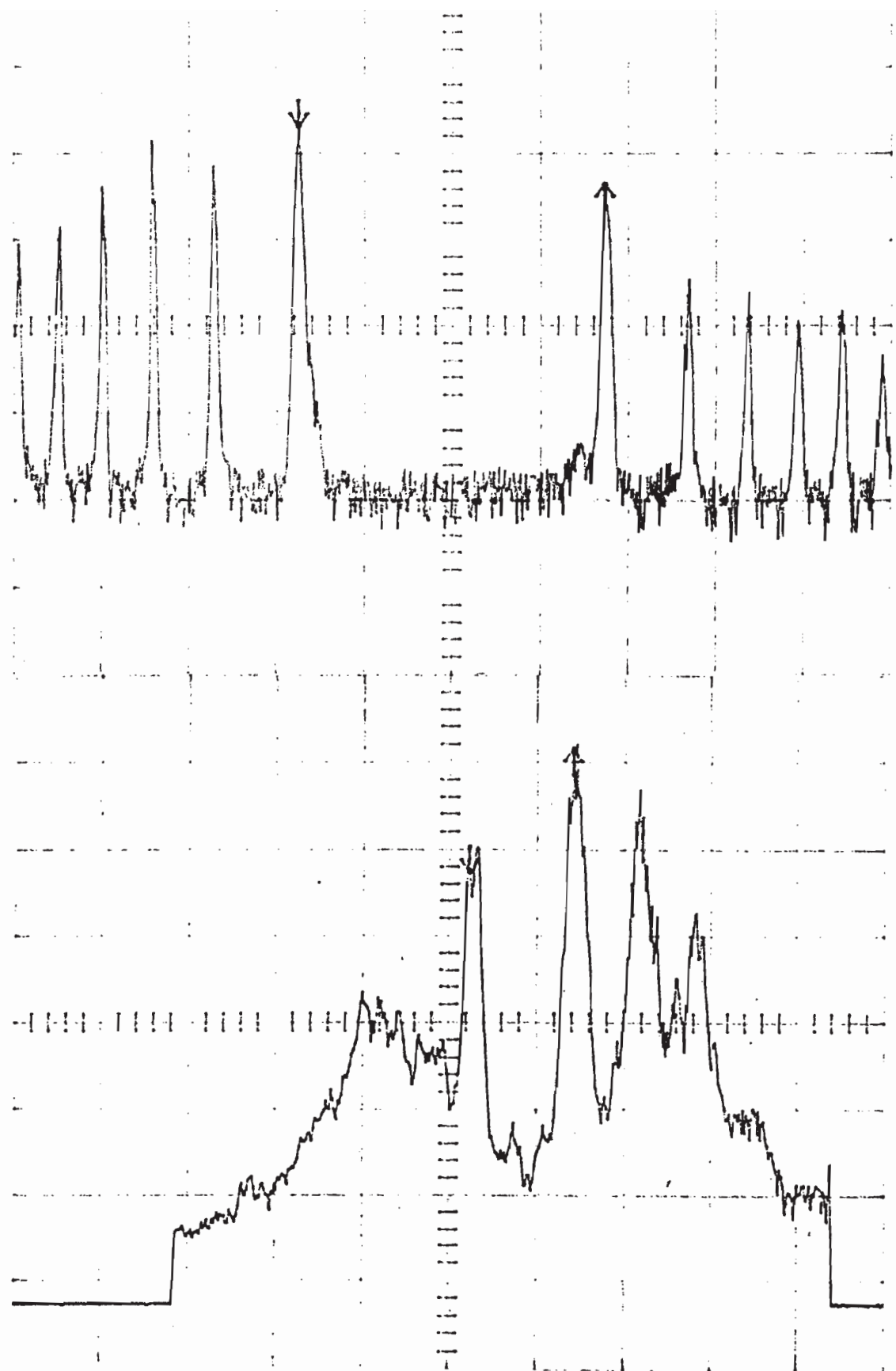
٣- جملة الليزر ومفاعاته ، الذي يمتاز بعرض خط طيفي (قيس بواسطة فابيري -

٢- جملة المطياف الكتلوي (الذي يمكن أن يكون ذا قطاع مغناطيسي كما في الشكل ٨ أو ذلك الذي يعتمد على TOF) . وهذه الجملة ذات مقدرة على التحليل ($m/\Delta m$) عالية . وقد تم معايرتها قبل استخدامها للتأكد من إمكانية فعلها للنطائر المختلفة (انظر الشكل ٩) .

بيروديي مجال طيفي قدره 1 cm^{-1} ونوعية قدرها 20 وكاشف ضوئي ذي ثقب () انظر الشكل $\cdot 10^{0.07 \text{ cm}^{-1}}$ أي (2GHz)



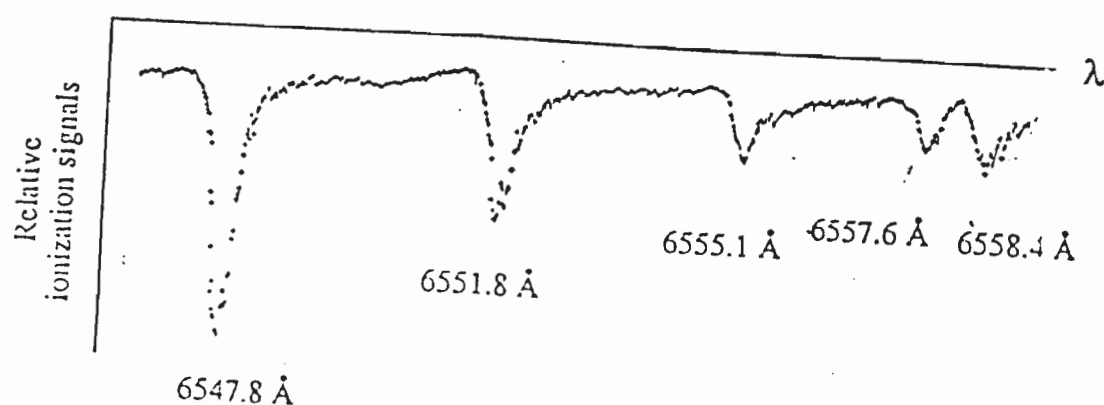
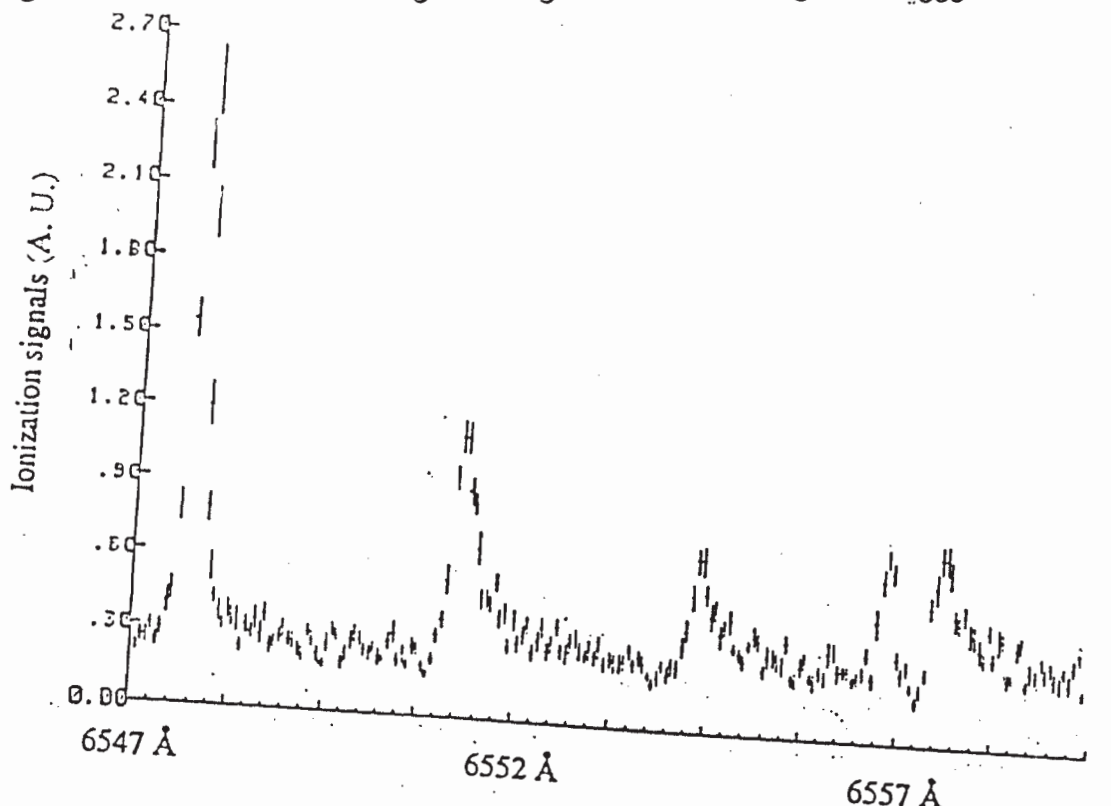
الشكل (9) : الذي يظهر مقدرة المطياف الكتالوي على تحليل الإشارة الناتجة عن معظم نظائر الكالسيوم ، علماً بأنّ للكالسيوم عدة نظائر هي ^{40}Ca و ^{42}Ca و ^{43}Ca و ^{44}Ca و ^{46}Ca و ^{48}Ca و من ذلك يتضح لنا ندرة وبالتألي غلاء قيمة و 0.145 و 0.94 و 0.97 و 0.003 و 0.06 و 0.18 على التوالي ومن ذلك يتضح لنا ندرة وبالتألي غلاء قيمة كل من ^{43}Ca و ^{48}Ca



الشكل (10) : الذي يظهر عرض الخط الطيفي للليزر الصباغي المستعمل (الجزء السفلي) بينما يظهر في الجزء العلوي عرض الخط الطيفي للليزر $\text{He} - \text{Ne}$ للمقارنة .

(7) وخاصية التعديل بالإضافة إلى إمكانية استبدال المطياف ذي القطاع المغناطيسي بمطياف يعتمد على زمن طيران الشاردة (TOF) يسمح لنا بمقارنة النتائج وهذه امامات التحقق منه بمقارنة سويات التشред الآلية مقياسة بكل المطيفين

إن الميزة العامة للمخطط الموضح في الشكل (8) هي قابليته للتعديل مما يسمح عند تغير الصباغ أو البلاستور بالحصول على المجال الطيفي (327 - 330nm) الضروري لتحقيق المخطط (6 a) والطريق الموجي 843 nm الضروري لتحقيق المخطط



الشكل(11) : حيث يظهر في الجزء العلوي سويات التشred الآلية مقياسة بمطياف ذي قطاع مغناطيسي (الجزء العلوي) وبمطياف TOF (الجزء السفلي) ونلاحظ مدى تطابق موضع وشدة الإشارة .

للوصول إلى العرض المطلوب والانتقائية المرجوة . كما يمكن الحصول على مسابق باستخدام CW ليزر أو ليزر ثبقي أو ليزري تردد عال .

٤- لقد تبين لنا من خلال الدراسة السابقة أنه للاستفادة من طرق التحليل الطيفي الدقيقة جداً لابد من الحصول على ليزرات ذات مجال توليف عريض يمتد من مجال VUV إلى IR أي من nm 800 - 200 والطريقة المستخدمة حالياً لتحقيق ذلك هي توليد ليزر صباغي مؤلف في مجال معين تم استخدام تقنية ما للتوليد التوافق المطلوب للدراسة الطيفية . لكن هناك صعوبات عديدة ترافق العمل مع الليزر الصباغي بالإضافة إلى أنه لا يخلو من العيوب والمساوئ (63) . لذلك يحاول العلماء الآن إيجاد بدائل لل الليزر الصباغي للتوليد التوافق المطلوبة مثل استخدام الطرق الوسيطية الاهتزازية في بلورة BBO مناسبة أو استخدام ليزر الجسم الصلب المضخ بليزر نصف ناقل (29) أو استخدام ليزر بلورة (64) Alexindevite كـ وجدنا أن أفضل منبع ليزري يحقق الأهداف المرجوة هو ليزر تيتانيوم ياقوت sapphire - Ti إذ إن هذا الليزر يعطي إشعاعاً متراابطاً ذو استطاعة خرج جيدة وله مجال توليف عريض ويمكن تضييق حزمته كي يفي بمتطلبات تحسين خرج RIMS لهذا يأمل العلماء استخدام هذا الليزر في تطبيقات (66) عديدة ويعتقدون أنه قد يكون ليزر المستقبل .

لقد سبق لنا أن تكلمنا على نتائج هذه الدراسة في أبحاث سابقة . لكننا هنا سنوجز أهم ماتوصلنا إليه .

- ١- لقد استطعنا تحديد مواضع العديد من سويات التشرد الآلية التي لم تكن معرفة سابقاً . ويظهر بعض منها في الشكل ١١ / ٠
- ٢- لقد استطعنا أن نحدد تجريبياً أن الانتقائية في الانتقالات وفق الانتقالات / ٥ / تتبع كلاً من عرض حزمة الليزر وبنية النسق ونسبة زمن تردد الإلكترون إلى زمن النبضة الليزرية ومقدار مزج البنية الدقيقة (HFS) للسويات الناعمة (FS) وأستطعنا أن نحدد تجريبياً سطح مقطع التشرد الضوئي ٦٠ وتواتر رابي $\frac{1}{2}$ لفوتونين وقد تبين أن القيم المستحصل عليها تجريبياً متفق مع القيم المستحصل عليها من الدراسة النظرية وفق نموذج السويتين المحدد (ETL) الذي وضعه (62) (Eberly) .
- ٣- لقد تبين لنا تجريبياً أن الانتقائية المرجوة (المقدرة بمقدار ١٠^٥) وفق الانتقالات الموضحة في المعادلات (6) تتحقق باستخدام ليزر ذي عرضاً من مرتبة ١٠-٢٠ MHz . وهذا يعني أن زيادة إشارة شاردة الكالسيوم يتوافق مع التناقص في حزمة الليزر من هنا نتبين ضرورة استخدام طرق تطبيق العرض الليزري (Laser Narrowing techniques)

New Laser application , RIMS studies
of calcium

Abstract: Recent new laser applications will be reviewed, with special emphasis on Resonance Ionization Mass spectroscopy (RIMS) studies of metal vapours .

RIMS will be used to explore the possibilities of isotopically selective tow - photon resonance, three - photon ionizationpathwars, to provide enhenced means for enriching and detecting calcium isotopes.

This research, was done while the autbor was a Fulbright scholar during 1990 at the National Institute of standards and Technology(NIST).Washington D.C, U.S.A .

SUMMARY

Non - Linear crystals, rare gases or metal vapours, when irradiated at suitable intensity , can produce second, third or fourth harmonics which cover a wide spectroscopic range up to VUV region .With increases in attainable laser power the generation of higher order harmonics has become feasible;This offers the prospect of producing coherent radiation in the soft Xray spectral region .The different wave lengths ranges have long been used as pumps to produce narrow band tunable dye lasers which were useful in many application .

They were of great value to test QED theories in free space and in optical cavity; new definition of the fundamental constant relates it to the quantum Hall effect (QHE); or Josphson effect. These effects can be measured with the help of new based laser techniques very accurately , so the value of can be determined with an accuracy of few (PPM).

Also, Laser generated a new novel optics, Like coherent and Squeezed states which may be suqeezed in one of its components beyond quantum limit . This new concept contains many new physici ideas unknown classically and may offer a possibility of detecting gravitation waves .

Too , Lasers have long been used extensivily in atomic and molecular spectroscopy special mention should be made to their use in studying Rydberg states and Van der Valls molecules. Theses species represent the classical limit to the quantum systems, so they can be used to study chaos in classical system and in its quantum counterpart. Also they offer the means to study the perturbing effect of short range interaction with the core electrons by studying the phase shift in the wave function of Rydberg electrons relative to these appropriate to hydrogen like species. This phase shift can be expressed in terms of "Quantum defect " which appears in Rydberg formula for the energy levels of the bound states .

The importance of lasers in spectroscopy will be exasperated when cooling of Na to 25 k° becomes feasible and the VUV lasers are used to generate the L_{α} (1216 A°) Line, which may be used to cool H atoms .

Recently; it has been experimentally possible to use the very short pulse duration of the laser to study femto second reactions its very high intensity to study above Thresholdionization (ATI), its narrow band width combined with its high energy to perform selective multphoton resonance ionization mass

spectroscopy of metal vapour isotopes whose ionization potential ranges from 4 - 20 ev

The RIMS method is extremely highly sensitive and selective, so it can precisely measure accurately the isotopic composition of picogram quantity with selectivity of up to $1:10^{10}$

The RIMS advantages supplemented with tractable calculations in simple elements (to fill the many existing gaps) makes it possible to provide analytical chemist and atomic physicist very valuable information about atomic structures such as excited state photoionization cross-section and hence the possibility of studying the intermediate states autoionization rates and transition probabilities

RIMS method can be used in general to selectively photoionize two electron systems like Be, Ca, Zn, Sr, Ba, Pb, Hg, Mo, Sn etc. This method was used in our laboratory to demonstrate isotopic selectivity in Zinc and Calcium isotopes. However in this paper we will present the study of photoionization pathways of calcium isotopes, which can be achieved via 1) photoionization pathways which are isotopically selective by virtue of strict selection rules; and 2) two-photon Doppler transitions.

The first possibility can be utilized in ^{43}Ca (the only calcium odd isotope) by tuning the laser wave length properly on resonance with one of the following (odd parity) transitions $4s^2 \ ^1S_0$ to $4s4P \ ^3P_0$ or to $4s5P \ ^3P_0$ to enhance excitation and then ionize the excited states of ^{43}Ca . It will be shown that to achieve isotopic selectivity in both transitions we need to use two coloured lasers (i.e. the energy of two or three photons).

The other possibility can be used to enhance selectivity of ^{48}Ca from the other even calcium isotopes via one of the following transitions $4s^2 \ ^1S_0 \longrightarrow 4s10S \ ^1S_0 \longrightarrow 3d7P \ ^1P_1$ or $4s^2 \ ^1S_0 \longrightarrow 3d5s \ ^1D_1 \longrightarrow 3d7P \ ^1P_1$

due to the proximity of the intermediate level $4s4P \ ^1P_1$ (which is 66.4cm^{-1} and 72 cm^{-1} off resonance from the two respective ionization transitions). But ionization yield studies of both routes performed with 421 nm (W_2) generated by doubling $843,009\text{ nm}$ (W_1) from the $4s$ los ionization pathway is significantly less efficient than the $3d5s$ ionization.

The experimental set up were the standard type in this kind of work. However the setup was arranged in a modular fashion, so it was possible ; to perform the experiments without the need to do major changes .Also the system could accept a further modifications for future use .

We will show that isotopic selectivity can be achieved in the first possibility if we take in consideration the laser wave length effect, its mode structure and its pulse duration assuming that the mixing of ($j = 0 \rightarrow j=0$) transition is sufficient .

Also experiments performed according to the second possibility using circularly polarized laser (so the selection rule $m_j=0$ or 2 , is valid experimentally) showed enhancement in the Ca^+ consistent with the decrease in the laser band width. So the projected isotopic selectivity of 10^5 is achievable with an appropriately narrow (10 - 20 MHz) band width , cw or pulsed at high - repetition rate (like: copper pumped dye) laser .

Beside isotopic selectivity, we were able to identify many autoionization levels in calcium . These levels were confirmed by another group working at NIST . But the main advantage of this work is the possibility of using lasers for ionization , so it is expected that a mature Ti - Sapphire solid state laser , which can give 30w and operate at 840nm and with 10% efficiency(or 3w at 420 nm) Will selectively ionize beams with a cross - section around $0,1\text{cm}^2$. The throughput for such a beam is $10^5 \text{ }^{48}\text{Ca}$ atoms / sec or $0,3\text{mg} \text{ }^{48}\text{Ca}/\text{hour}$.

- 1- A.O.Barut and M.Basic.Ic/88/161
- 2-P.A.M.Dirac "Lectures of Quantum field theory "Before graduate school of science. yeshiva University. N.Y.1961
- 3- G.Backenstoss in "progress in Atomic spectroscopy" part B Ed. by W. Hanel and K.K.kelinpopin. plenum-press. London. 1978 look also at similar articles in Exotic atoms conference proceedings 1984 .

- 4- P.C. Burke and W.D.Rubb "The R - Matrix theory of Atomic processes" Advances in Atomic physics 1975.
- 5- Quantum mechanics vol and 2"C.C. Tannoudji.D.Diu and F.Lalol.wiley interscience 1977 .
- 6- H.Walters. "High resolution spectroscopy" 1982 .
- 7- J.R.Wilkinson "Ring lasers" prog. Quant Elect. 11.1987.

- 8- V.W.Hughes "Atomic physics and fundamental principles"Atomic - physics Ed. by H . Narumi and I. Shimamuro.Elsevier publishers1987.
- 9- J.D.Silver.Physicascripta. 37.720. 1988 .
- 10- Young ki - kim . Work shop II "Future opportunities in atomic, molecular and optical physics" "Washington . March 1990 .
- 11- "La theorile Quantique de champs" collection of Articles published by the International Institute of physics about savoy conferences 1961 .
- 12- Edwin R. Williams. spring meeting of the American physical society (APS) Washington. April 1990
- 13- T.Kinoshita. From "The Hydrogen atom " Ed. by G.F. Bassani, M. Ingusi and J.W. Hansch.Springer - Verlag Berlin 1989 .
- 14- L.Poittier " Parity violations in atoms"Exotic atoms conference 1984 .
- 15- "Current Trends in atomic spectroscopy" report on a workshop held in Tuscon Arizona oct. 24-26 1984 .
- 16- A.Corney"Atomic and laser spectroscopy " oxford University press pp 62 and the references there in .
- 17- D.Sesk , C.G.Fan and C.E.Wieman J.OPT.Soc . Am.B.5.1225.1988
- 18- Robbert E.Dullinger.Spring meeting Of APS Washington April,1990 .
- 19- Stev chu. Spring meeting of Aps. April 1990 .
- 20- R.P.Feynamon."Quantum Electro - dynamic " The Benjamin cimming publishing co.inc. 1962 .
- 21 - A.O.Barut "Electro dynamic and classical theory of fields and particles" Macmillan company.N.Y 1964 .
- 22- F.B.Birula and Z.B.Birula"Quantum Electro dynamic " Pergaman press. 1975 .
- 23- E.T.Jaynes"Survey of the present status of Neo classical radiation theory 'From " Coherence and Quantum optics" Ed. by. L.Mandel and E. Wolf plenum press. London 1973.
- 24- G.Leuchs. contmp.phys. 29.299.1988
- 25- P.Grangier Adriatico research conference on "Coherent sources for Frontier spectroscopy" 30 Aug. " 2 sep . 1988 .
- 26- D.F.Walls .Nature.306.141. 1983.
- 27- S.M.Barnnett and M.A. Du pertuis. Internal report to the imperial college. London 1986 .
- 28- J.H.Shapiro.I.EEE.QE.21. 237.1985
- 29- M.H.Dunn a lecture at "Laser in science and technology"Amman Jordan . 1989 .

- 30- Charles w.clark works at NIST . USA. 1990
- 31 - M.N.R. Ashfold and J.D.Prince contemp.phys.29.125. 1988 .
- 32- A.S.Pine" Coherent Sources for frontier spectroscopy"adriatico conference 30 aug - 2sep.1988
- 33 - Lioyed Arm strong.Workshop II "Future opportunities in Atomic Molecular and optical phycics "Washington . March 1990 .
- 34- R.V.Jensen Atomic physics 10, 1987 .
- 35- A.F.Gibbson . And .M.H. Kay report on progress in physics vol 13 . NO 1. 1980 .
- 36- David.M.Bloom from "Lasers induced fusion and X- ray laser studies "Ed.by stephen. F.Jacobs, Marlon O.Scully.Murry sargent III and Cyrus D.Cantrel III .Addison - Wesly. Pub. Co. 1976 .
- 37 - X - xiong work.at NIST .USA 1990.
- 38- William D.Philips lecture at NIST. USA. Oct 1990.
- 39- G.Mainfray. RIS. 88.Caithersburg. 10 - 15 April 1988.
- 40- Goran Wendin etal.Phys.Rev.lett 56.1241.Also llook xing -Bong mu et al. paper in the same volume PP.1909.1986.
- 41- Ahmed Zwail lecture at"Lasers in science and technology"Amman Jordan 1989 .
- 42 - P.H.Buchsbaumetal J.Opt.soc.Am B.4.720.1987.
- 43- Karl H.Welge lecture at NIST . 1990 and at Minneapolis.minisota 1990 .
- 44- Charles K. Rhodes.Science 229. 1345. 1985
- 45- P.Lambro Poulo's and A.Lyras. phys.Rev.A.40.2199. 1989.
- 46- KW D.Ledingham.Private communica- tion 1990 .
- 47- "Advances in time of flight mass spectrometers"Ed.by.J.E.compana. Marcel Dekker Inc. 1987.
- 48-B.A.Mamyrinand D.V.S hmikh.JETP May.762. 1979 .
- 49- C.J .MC.Lean et al ,Int.J. of Mass.Spec. and Ion Proc. 96- R1 - 1990 .
- 50- J.Traves work at NIST.USA 1990.
- 51- J.A.cool APP.Opt.23.1559. 1984
- 52- H.Kopferman"Nuclear moments " Academic press.1958.
- 53- T.B. Lucatorto et al.Opt.com.48 406 - 1984 .
- 54- G.L.Epstien and S.P.Davis phys. Rev .A.4.464.1971 ..

- 55- C.M.Brown and M.L.Ginter opt .
com.21.279. 1977.
- 56- W.Demtroder "Laser spectroscopy
Basic Concepts and instruments"
spring- verlag 1981 .
- 57- J.A.paisner and R.W.solar z From
"Laser spectroscopy and its
applications" Ed. by L.S.
Radziemski.R.W.solarz and J.A.
Paisner Marcel Dekker inc. 1987.
- 58- Ibrahim K.BELAL.ILS.VI meeting
of APS Minneapolis Minnesota USA
16 - 19 sep 1990
- 59- X-Xiong. Ibrahim.K.BELAL.J.D.
Fassett and L.J.Moore.Preliminary
results of this research was
presented as poster at the meting
of OSA in Boston 4-9 Nov.1990 a
full report was presented to NASA
the Financial supporter of the
project .
- 60- QI li et al RIS. 90 Italy sep
1990 .
- 61- J.H.Eberly phys. Rev .Lett 42
1049 - 1979 .
- 62 -N.O mentoo. Winter college on
"Atomic and Molecular physics
analytical laser spectroscopy
9 march - 7 April 1987 . Also
pook Ibrahim K.BELAL ph.D.Thesis
Univ of st Andrews U.K. 1977
- 63- L.G Nair prog. quant Elect.7.153-
1982 .
- 64- D.Heller and J.C.Welling.IL - VI.
Minneapolis Minisota sept.16 - 19
1990.
- 65- KWD Leingham and RP singhal
private communication .
- 66- Lasers and optronics pp 44.Oct .
1990 .